



УДК 550.4:549.211:548.535



ТИПОМОРФНЫЕ МИНЕРАЛОГО-ГЕОХИМИЧЕСКИЕ СВОЙСТВА ЯКУТИТОВ

В. А. Петровский¹, В. И. Силаев¹, А. Е. Сухарев¹, И. В. Смолева¹,
А. Л. Земнухов², Б. С. Помазанский³, С. С. Шевчук¹

¹Институт геологии Коми НЦ УрО РАН, Сыктывкар,

²ОАО «Алмазы Анабары», Якутск

³НИГПАК «АЛРОСА» (ОАО), Мирный

petrovsky@geo.komisc.ru

Проведены минерало-геохимические исследования природных алмазов XI разновидности — якутитов. По изотопному составу углерода якутиты обнаруживают значительное своеобразие, полно не совпадая ни с одной из генетических популяций природных алмазов, включая и импактные. По изотопному составу азота якутиты скорее могут быть сопоставлены с мантийными, нежели с коровыми производными. В составе полиминеральных пленок на поверхности частиц якутитов значительную роль играют минералы, характерные для глубинного минералообразования — хромосодержащие шпинелиды, бадделеит, хромистое железо, карбиды tantalа и, вероятно, ниобия. По комплексу свойств якутиты больше похожи на мантийные монокристальные алмазы из кимберлитов и туффизитов уральского типа, чем на бразильские карбонато.

Ключевые слова: *Сибирская платформа, якутиты, изотопный состав углерода и азота, полиминеральные пленки, бразильские карбонато.*

TYPOMORFIC MINERALOGICAL AND GEOCHEMICAL PROPERTIES OF YAKUTITES

V. A. Petrovsky¹, V. I. Silaev¹, A. E. Sukharev¹, I. V. Smoleva¹,
A. L. Zemnukhov², B. S. Pomazanskiy³, S. S. Shevchuk¹

¹ Institute of Geology Komi SC UB RAS, Syktyvkar

² OAO «Diamonds of Anabar», Yakutsk

³ NIGPAC «ALROSA» (OAO), Mirny

Conducted mineralogical and geochemical studies of natural diamonds XI variety — yakutite. The isotopic composition of carbon yakutite revealed significant identity, not fully coincide with any of the genetic populations of natural diamonds, including impact. The isotopic composition of nitrogen yakutite more likely to be associated with mantle, rather than crustal derivatives. As part poliminerale films on the surface of the particles play a significant role yakutite minerals characteristic of deep mineral — chromium-containing spinels, baddeleyite, chromium iron, tantalum carbide and probably niobium. On a range of properties yakutite more like mantle single crystal diamonds from kimberlites and tuffizites Ural type than the Brazilian carbonado.

Key words: *Siberian platform, yakutites, isotopic composition of carbon and nitrogen, polymineral film, Brazilian carbonado.*

Целью настоящей работы стало выявление типоморфных свойств якутитов [3] — особой разновидности природных лонсдейлитсодержащих алмазов неопределенного генезиса, открытых в 1960-х гг. [11], но все еще

весьма мало изученных. Для исследований были использованы 30 образцов, отобранных геологами ОАО «Алмазы Анабара» из современных речных отложений в Прианабарском районе Сибирской платформы.

Исследованные образцы якутитов представляют собой частицы черного, темно-серого, темно-бурого цвета, неправильной угловатой формы, обычно с проявлением кливажности (рис. 1). Они характеризуются плотным скры-

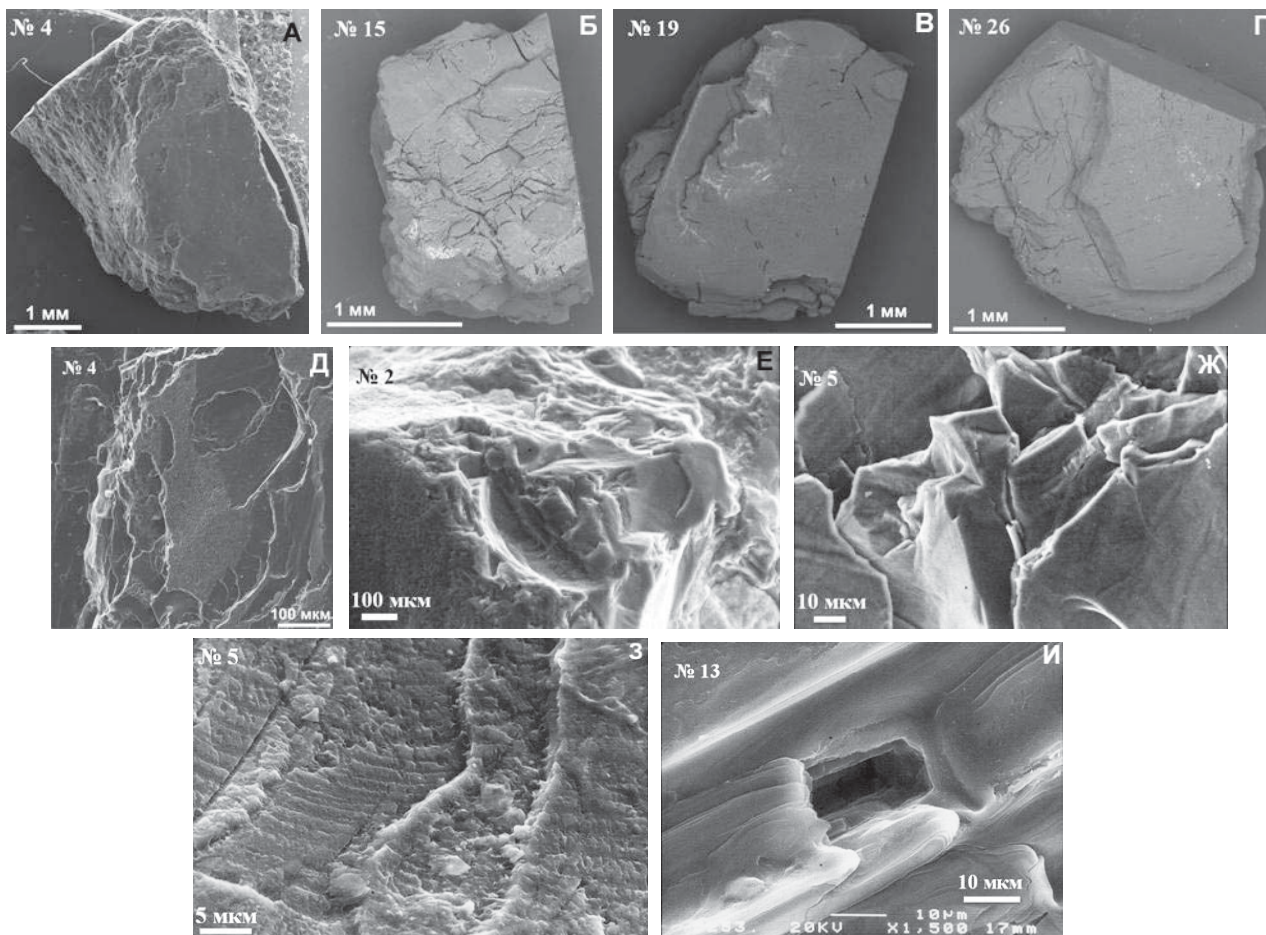


Рис. 1. Форма типичных частиц якутидов с проявлением кливажности, выраженной пластинчато-ступенчатым рельефом. СЭМ-изображения в режиме вторичных электронов

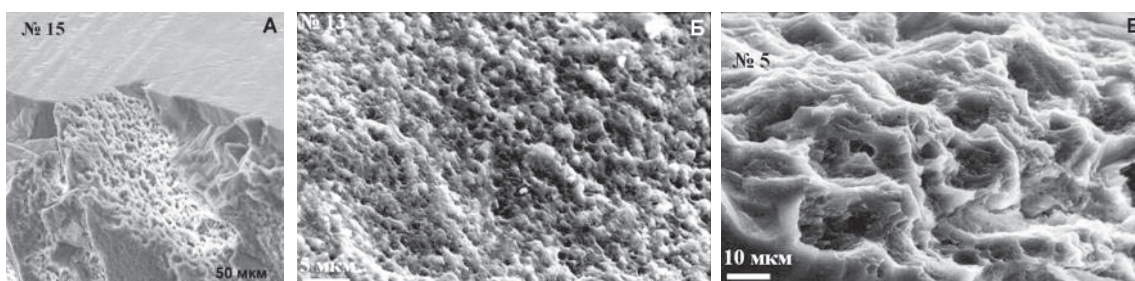


Рис. 2. Характер кавернозности на локальных участках поверхности частиц якутидов. СЭМ-изображения в режиме вторичных электронов

токристаллическим сложением, не-прозрачны как в видимом, так и инфракрасном диапазонах. В тонких срезах, однако, приобретают более светлый коричневый цвет, становясь час-тично прозрачными и обнаруживая множество черных включений. На по-верхности частиц часто встречаются микрокавернозные участки, появление которых, скорее всего, обусловлено кратковременным, но сильным ра-створением (рис. 2). В единичных слу-чаих поверхность частиц осложнена чашеобразными впадинами с гладки-ми и микроступенчатыми стенками (рис. 3). Образование такой скульптуры можно объяснить налипанием га-зовых пузырьков. Кроме того, для ис-следуемых частиц весьма характерны

полиминеральные примазки и микро-пленки, присутствие которых легко обнаруживается даже при предваритель-ном рентгеноспектральном микрозон-довом анализе.

Изотопный состав углерода

Измерения изотопного состава углерода и азота производились на аналитическом комплексе, включаю-щем в себя элементный анализатор Flash EA 1112, соединенный через га-зовый коммутатор Conflo IV с масс-спектрометром Delta V Advantage (фирмы Thermo Fisher Scientific). Поль-лученные результаты показали, что алмазная фаза в якутидах варьирует-ся по изотопному составу в пределах

значений $\delta^{13}\text{C}$ от -17 до -8 ‰ с мо-дой при $-12\ldots-13 \text{ ‰}$ (табл. 1). Эти данные практически тождественны данным, ранее полученным для дру-гой представительной коллекции якутидов [10]. Корреляция изотопно-го состава углерода с содержанием примеси лондейлита не установле-на. В ходе эксперимента обнаружено, что по мере сжигания частиц якутидов изотопный состав углерода не-много изменяется, что можно объяс-нить существованием в частицах якутидов некоторой изотопно-геохими-ческой неоднородности. Практичес-ки у всех исследованных частиц края оказались на $12\ldots13 \text{ %}$ более изотопно-легкими по углероду, чем внут-ренние участки.



В сравнении с кимберлитовыми алмазами якутиды показали себя статистически значительно более изотопно-легкими, хотя диапазоны варьирования значений $\delta^{13}\text{C}$ в тех и других алмазах заметно перекрываются (рис. 4). В сравнении с попигайскими алмазами якутиды по углероду, напротив, статистически более изотопно-тяжелые. Наибольшее совпадение по диапазону колебаний $\delta^{13}\text{C}$ якутиды обнаруживают с монокристальными алмазами из Эбеляхской россыпи, хотя моды в со-

ответствующих распределениях и на этот раз заметно расходятся — статистически эбеляхские алмазы по углероду изотопно несколько тяжелее, больше сближаются с кимберлитовыми алмазами эклогитового парагенезиса.

На генеральной диаграмме варьирования изотопного состава алмазного углерода якутиды занимают промежуточное положение между кимберлитовыми и попигайскими алмазами, весьма контрастно обособляясь от бразильских карбонадо, ко-

торые характеризуются в 1.5—2 раза более легким углеродом (рис. 5). В рамках космогенно-мантийных образований якутиды изотопно коррелируются с C1—C2-хондритами, а по гипотетическому первоисточнику могут быть определены как угarnогазовые производные.

Особый интерес вызывают определения изотопного состава азота, спорадически регистрируемого в якутидах. Значения изотопного коэффициента $\delta^{15}\text{N}$ для исследованных образ-

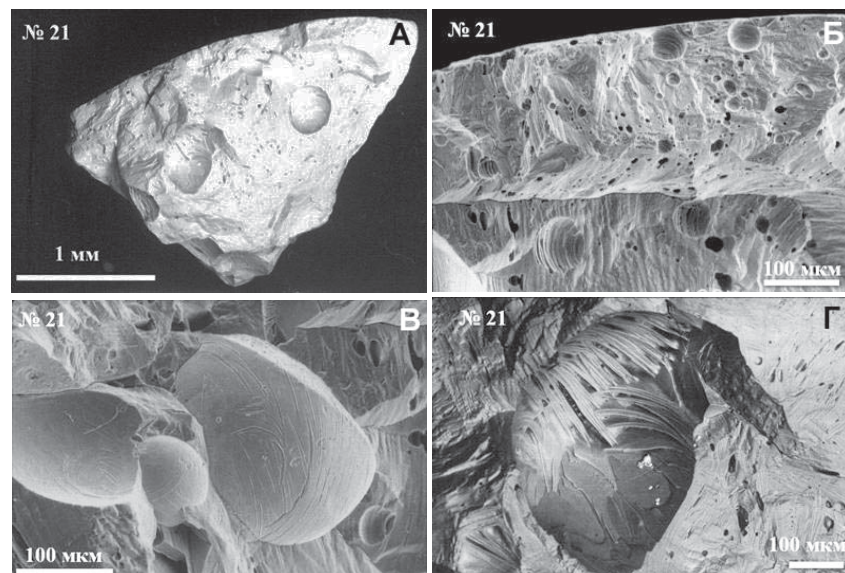


Рис. 3. Частица якутида со следами газовых пузырьков. СЭМ-изображение в режимах вторичных и упруго-отраженных электронов

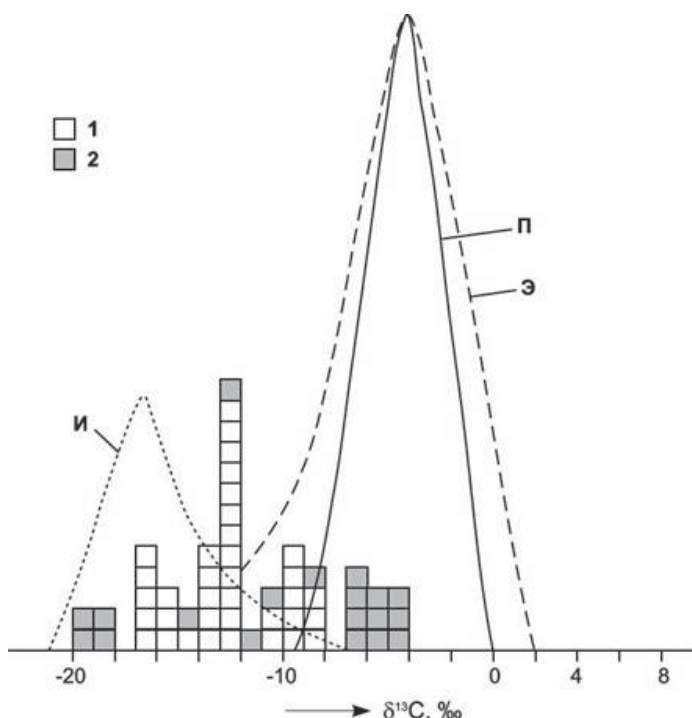


Рис. 4. Распределение значений коэффициента $\delta^{13}\text{C}$, характеризующее вариации изотопного состава углерода в якутидах (1) и алмазах из Эбеляхской россыпи (2). Вариационными кривыми показаны колебания изотопного состава углерода в кимберлитовых алмазах перидотитового (П) и эклогитового (Э) парагенезисов, а также в алмазах импактного происхождения (И)

Таблица 1
Изотопный состав углерода и азота в якутидах

№ п/п	№ обр	$\delta^{13}\text{C}$, ‰	$\delta^{15}\text{N}$, ‰
1	1	-13.4	-1.0
2	«	-12.8	Не обн.
3	2	-10.6	«
4	«	-9.8	«
5	3	-12.1	«
6	4	-12.9	«
7	6	-12.1	0.8
8	8	-13.2	Не обн.
9	«	-12.3	«
10	«	-12.3	«
11	«	-12.2	«
12	«	-12.1	«
13	9	-10.8	«
14	11	-12.6	«
15	«	-12.1	«
16	12	-9.2	«
17	«	-8.8	«
18	15	-12.9	«
19	«	-12.1	«
20	18	-13.9	«
21	19	-13.2	«
22	22	-9.5	«
23	23	-16.3	«
24	«	-16.1	«
25	24	-14.2	«
26	«	-13.3	«
27	25	-15.7	«
28	26	-9.0	«
29	«	-9.5	«
30	29	-8.7	«
31	«	-8.3	«
32	30	-16.2	«
33	«	-16.1	«
34	«	-15.1	«
35	«	-16.2	«
36	«	-15.8	«

Для образцов с содержанием лондейлитовой примеси от 1 до 10 %

Среднее	-11.3	Единичное определение 0.8
СКО	1.6	
Коэффициент вариации, %	14.2	

Для образцов с содержанием лондейлитовой примеси от 10 до 25 %

Среднее	-14.3	Единичное определение -1.0
СКО	2.1	
Коэффициент вариации, %	14.5	

Для образцов с содержанием лондейлитовой примеси более 25 %

Среднее	-11.59	Не обн.
СКО	2.53	
Коэффициент вариации, %	21.8	

Для всей коллекции

Среднее	12.49	Единичные определения в диапазоне -1.0...0.8
СКО	2.43	
Коэффициент вариации, %	19.5	



цов якутилов составили –1...0.8 %, что укладывается скорее в диапазон варьирования изотопного состава азота в мантийных алмазах, нежели в углеродистых веществах корового происхождения [7, 12].

Таким образом, по изотопному составу углерода якутилы обнаруживают значительное своеобразие, не совпадая полностью ни с одной из генетических популяций природных алмазов. При этом в ряду алмазов якутилы более всего отличаются именно от бразильских карбонадо, с которыми их когда-то пробовали отождествлять [2].

Ксеноминеральные пленки на поверхности якутилов

Для изучения ксеноминеральных примесей в якутитах были использованы аналитические сканирующие электронные микроскопы JEOL JSM-6390LV и VEGA TESCAN; JSM-6400. В режиме рентгеноспектрального микрозондового анализа эти примеси легко обнаружаются уже по предварительным энергодисперсионным спектрам (рис. 6).

Проведенные исследования показали, что на частицах якутилов присутствуют ультратонкие полиминеральные пленки, иногда покрывающие значительную часть поверхности, но чаще наблюдающиеся в виде локальных примазок площадью 100–200 мкм². Толщина пленок не превышает нескольких микрон. Их размещение большей частью контролируется микрорельефом, что является естественным для поверхностных микроминерализаций. Большой интерес вызывает тот факт, что выше отмеченные ямчато-кавернозные участки часто обнаружаются именно под наростами на поверхность якутилов полиминеральными пленками. Последнее свидетельствует о том, что локальное эпигенетическое растворение якутиты претерпевали еще до образования пленок, т. е. ранняя история якутилов не исчерпывается только фактом возникновения лонсдейлитсодержащего алмаза.

В составе пленок на поверхности якутилов нами выявлено около 50 минералов, что в несколько раз превышает данные наших предшественников [9, 10]. Обнаруженные нами минералы представляют все типы и многие из классов, относясь к простым веществам (самородные металлы и карби-

ды), галидам, халькогенидам, оксидам, силикатам и кислородным солям (табл. 2). Наиболее часто встречаются гидрослюды, гётит, титановые оксиды — ильменит и рутил, циркон, карбонаты, пироксены (рис. 7–12). В совокупности эти минералы образуют микропарастерезис, напоминающий так называемую биректинскую ассоциацию [4], которую считают типичной для якутилов. Кроме отмеченных минералов в составе исследуемых пленок выявлены шпинелиды ряда хромит-маг-

нетит, бадделеит, множество самородно-металлических фаз, несколько карбидов. Эта группа минералов, очевидно, выходит за пределы ассоциации коровых минералов, отражая генетическую самобытность якутитов.

Размер индивидов в полиминеральных пленках для большинства минералов колеблется в пределах до 10 мкм, в случаях гётита и гидрослюд — до 100 мкм. Какой-либо корреляции между развитием пленок и содержанием в якутитах лонсдейлита нами

Таблица 2
Кадастр минералов, выявленных в полиминеральных пленках на поверхности частиц якутилов

№ п/п	Минерал	№ обр.	Частота встречаемости минеральных типов, %
<i>Самородные элементы и карбиды</i>			
1	Вольфрам самородный	13, 20	
2	Железо самородное	21	
3	Железо никелистое	21	
4	Золото самородное	3, 4, 5	
5	Медь самородная	2	
6	Медь цинкистая	2	
7	Молибден самородный	1	
8	Цинк медистый	2	
9	Сплав Cu-Mo	1	
10	Сплав Cu-W	1	
11	Сплав Fe-Cr	1, 26	
12	Сплав Fe-Cr-Ni	19	
13	Сплав Cu-Pd	19	
14	Сплав Cu-Zn	2, 5	
15	Сплав Cu-Zn-Pb	2	
16	Сплав Cu-Sn	20	
17	Сплав W-Co-Fe	13	
18	Хамрабаевит, TiC	5	
19	Танталкарбид, TaC	4, 5, 19, 20	
20	Ниобийкарбид, NbC?	5, 20	
<i>Халькогениды</i>			
21	Сульфиды Cu-Zn	5	2.04
<i>Галиды</i>			
22	Галит	5	
23	Хлориды K-Na	4, 5	
24	Хлориды K-Na-Mg	5	6.12
<i>Оксиды, оксигидроксиды и гидроксиды</i>			
25	Бадделеит	4, 14	
26	Бадделеит гафнийсодержащий	14	
27	Гётит	1, 2, 3, 5, 13, 14, 28	
28	Ильменит	1, 21	
29	Кауладерит, Al(OH) ₃ ·4H ₂ O	5	
30	Кварц	4, 5, 13, 14, 19, 26	
31	Корунд	4	
32	Магнетит	14	
33	Магнетит хромсодержащий (хроммагнетит)	1, 13, 14	
34	Оксиды Mn-Fe-Cr	21	
35	Рутил	4, 5, 26	
36	Тунгстит WO ₃ ·H ₂ O	20	
37	Хромит	14	
<i>Силикаты и кислородные соли</i>			
38	Альбит	4, 5	
39	Гидрослюды	1, 2, 3, 5, 13, 14, 21	
40	Калиевый полевой шпат	1	
41	Циркон	4, 14	
42	Циркон гафнийсодержащий	14	
43	Энстатит	4, 26	
44	Кальцит	4, 5	
45	Кальцит магнезиальный	5	
46	Ангибит	5	
47	Апатит	1	
48	Гипс	5	
49	Фосфаты Mg,Ca,Fe	5, 14	24.49



не обнаружено. Однако установлено, что пленки на частицах якутитов, наиболее обогащенных микроэлементами (данные ЛА МС-ИСП), оказались по минеральному составу наименее разнообразными. Это, возможно, указывает на то, что основную роль в формировании ассоциации микроэлементов в якутитах играют все-таки не плечоночные микроминерализации, а ксеноминеральные включения внутри частиц.

Определение состава минералов в пленках представляет значительную трудность в связи с дисперсностью минералов и взаимным тонким их прорастанием. Поэтому к настоящему времени более или менее достоверно определился состав только части минералов, указанных в рамке.

Статистический анализ показал, что в составе полиминеральных пленок на поверхности частиц якититов по частоте встречаемости резко преобладают простые вещества — самородные металлы, их сплавы и карбиды, а силикаты и кислородные соли характеризуются небольшим распространением. Такое соотношение не только противоположно пропорциям между кристаллохимическими типами в земной коре, в которой резко преобладают как раз силикаты и кислородные соли, но и отличается сдвигом в сторону простых веществ даже в сравнении с ксеноминеральными примесями в карбонадо [8]. Не исключено, что выявленные

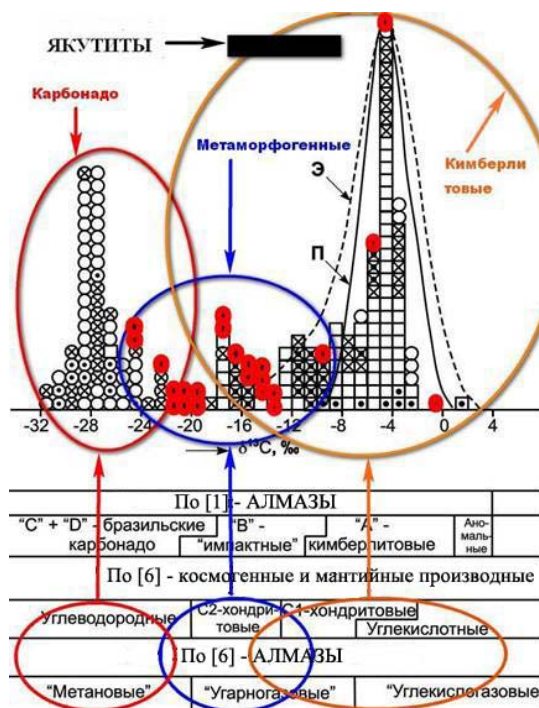


Рис. 5. Генеральная диаграмма изотопного состава углерода в алмазах различного происхождения

Циркон	$\text{Fe}_{0.88}\text{Cr}_{0.12}$
$(\text{Zr}_{0.98}\text{Hf}_{0.02})[\text{SiO}_4]$	$\text{Fe}_{0.87}\text{Cr}_{0.13}$
$(\text{Zr}_{0.98}\text{Hf}_{0.02})[\text{SiO}_4]$	$\text{Fe}_{0.87-0.88}\text{Cr}_{0.12-0.13}$
$(\text{Zr}_{0.99}\text{Hf}_{0.01})[\text{SiO}_4]$	$\text{Fe}_{0.75}\text{Cr}_{0.17}\text{Ni}_{0.08}$
$(\text{Zr}_{0.98}\text{Hf}_{0.02})[\text{SiO}_4]$	$\text{Fe}_{0.88}\text{Cr}_{0.11}\text{Mn}_{0.01}$
$(\text{Zr}_{0.98}\text{Hf}_{0.02})[\text{SiO}_4]$	$\text{Fe}_{0.89}\text{Cr}_{0.10}\text{Mn}_{0.01}$
$(\text{Zr}_{0.98-0.99}\text{Hf}_{0.01-0.02})[\text{SiO}_4]$	$\text{Fe}_{0.75-0.89}\text{Cr}_{0.10-0.17}\text{Ni}_{0-0.08}\text{Mn}_{0-0.01}$
Бадделеит	$\text{Fe}_{0.99}\text{Ni}_{0.01}$
$(\text{Zr}_{0.99}\text{Hf}_{0.01})\text{O}_2$	$\text{Fe}_{0.99}\text{Ni}_{0.01}$
$(\text{Zr}_{0.99}\text{Hf}_{0.01})\text{O}_2$	$\text{Fe}_{0.99}\text{Ni}_{0.01}$
$(\text{Zr}_{0.99}\text{Hf}_{0.01})\text{O}_2$	$\text{Fe}_{0.99}\text{Ni}_{0.01}$
Ряд хромит—магнетит	$\text{Fe}_{0.99}\text{Ni}_{0.01}$
$\text{Fe}(\text{Cr}_{1.82}\text{Fe}_{0.16}\text{Ti}_{0.02})_2\text{O}_4$	$\text{Fe}_{0.99}\text{Ni}_{0.01}$
$\text{Fe}(\text{Fe}_{1.41}\text{Cr}_{0.49}\text{Ti}_{0.1})_2\text{O}_4$	$\text{Fe}_{0.89}\text{Ni}_{0.04}\text{Zn}_{0.05}\text{Cu}_{0.02}$
$\text{Fe}(\text{Fe}_{1.67}\text{Cr}_{0.33})_2\text{O}_4$	$\text{Fe}_{0.98}\text{Ti}_{0.01}\text{Si}_{0.01}$
$\text{Fe}(\text{Fe}_{1.61}\text{Cr}_{0.35}\text{Ti}_{0.04})_2\text{O}_4$	$\text{Cu}_{0.96}\text{Zn}_{0.02}\text{Ni}_{0.01}\text{Fe}_{0.01}$
$\text{Fe}(\text{Fe}_{1.18}\text{Cr}_{0.40}\text{W}_{0.42})_2\text{O}_4$	$\text{Cu}_{0.84}\text{Zn}_{0.13}\text{Pb}_{0.03}$
$\text{Fe}(\text{Fe}_{1.42}\text{Cr}_{0.58})_2\text{O}_4$	$\text{Cu}_{0.95}\text{Sn}_{0.5}$
$(\text{Fe}_{0.98}\text{Ni}_{0.02})(\text{Fe}_{1.85}\text{Cr}_{0.15})_2\text{O}_4$	$\text{Cu}_{0.84}\text{W}_{0.16}$
$(\text{Fe}_{0.99}\text{Mn}_{0.01})(\text{Fe}_{1.90}\text{Cr}_{0.10})_2\text{O}_4$	$\text{Cu}_{0.53}\text{Zn}_{0.47}$
$\text{Fe}(\text{Cr}_{1.82}\text{Fe}_{0.16}\text{Ti}_{0.02})_2\text{O}_4$	$\text{Cu}_{0.74}\text{Zn}_{0.26}$
$\text{Fe}(\text{Fe}_{1.64}\text{Cr}_{0.36})_2\text{O}_4$	$\text{Cu}_{0.53-0.74}\text{Zn}_{0.26-0.47}$
$\text{Fe}(\text{Fe}_{1.92}\text{Ti}_{0.08})_2\text{O}_4$	$\text{Cu}_{0.66}\text{Zn}_{0.31}\text{Fe}_{0.03}$
$(\text{Fe}_{0.99}\text{Ni}_{0.01})(\text{Fe}_{1.48}\text{Cr}_{0.44}\text{Ti}_{0.08})_2\text{O}_4$	$\text{Cu}_{0.71}\text{Zn}_{0.25}\text{Fe}_{0.04}$
$(\text{Fe}_{0.98}\text{Mn}_{0.02})(\text{Fe}_{1.51}\text{Cr}_{0.27}\text{Ti}_{0.22})_2\text{O}_4$	$\text{Cu}_{0.66-0.71}\text{Zn}_{0.25-0.31}\text{Fe}_{0.03-0.04}$
$(\text{Fe}_{0.98-1}\text{Ni}_{0-0.02}\text{Mn}_{0-0.02})(\text{Cr}_{0-1.82}\text{Fe}_{0.16-1.92}\text{Ti}_{0-0.22})_2\text{O}_4$	$\text{Cu}_{0.51}\text{Pd}_{0.49}$
Самородные металлы	$\text{Zn}_{0.68}\text{Cu}_{0.29}\text{Ni}_{0.01}\text{Fe}_{0.02}$
$\text{Fe}_{0.99}\text{Mn}_{0.01}$	$\text{Mo}_{0.92}\text{Cu}_{0.08}$
$\text{Fe}_{0.99}\text{Mn}_{0.01}$	$\text{W}_{0.65}\text{Cu}_{0.29}\text{Fe}_{0.06}$
$\text{Fe}_{0.99}\text{Mn}_{0.01}$	$\text{Au}_{0.76}\text{Ag}_{0.12}\text{Cu}_{0.12}$
$\text{Fe}_{0.88}\text{Cr}_{0.12}$	$\text{Au}_{0.74}\text{Ag}_{0.11}\text{Cu}_{0.15}$
	$\text{Au}_{0.74-0.76}\text{Ag}_{0.11-0.12}\text{Cu}_{0.12-0.15}$

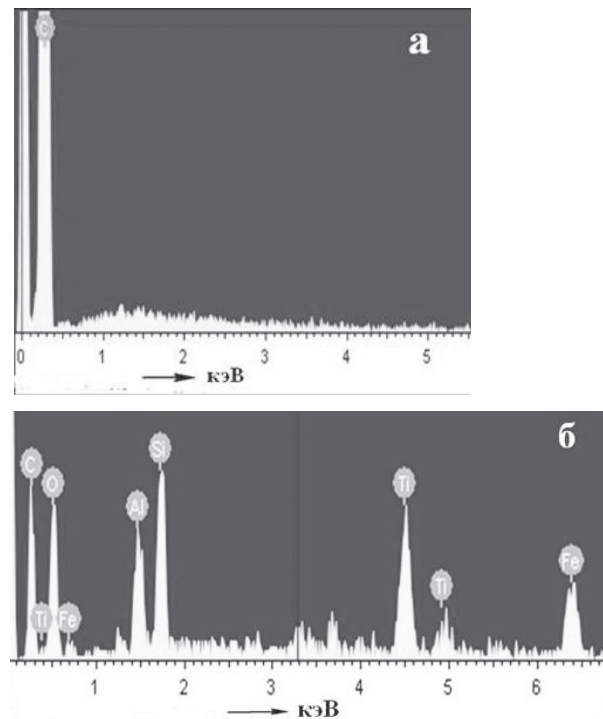


Рис. 6. Типичные ЭД-спектры, полученные с чистой поверхности якутита (а) и с его поверхности, покрытой ксеноминеральными пленками (б)

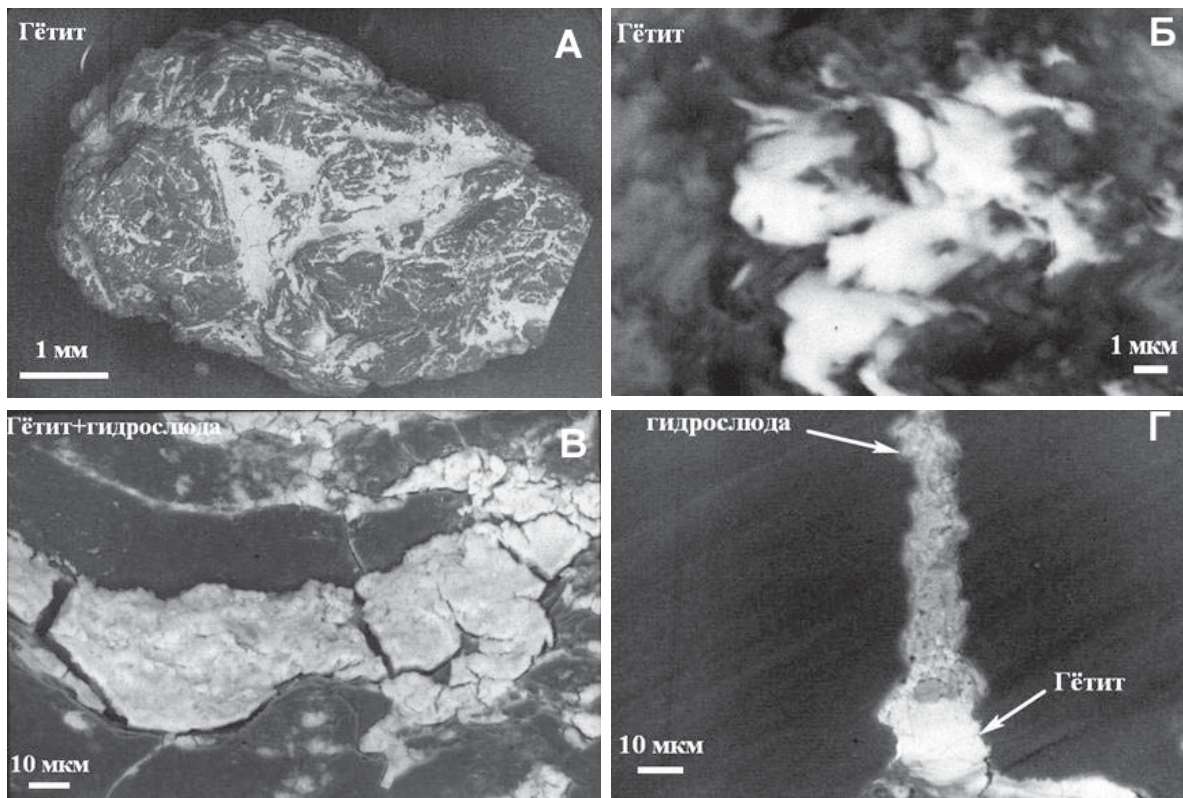


Рис. 7. Выделения гётита и гидрослюд. СЭМ-изображения в режиме упруго-отраженных электронов

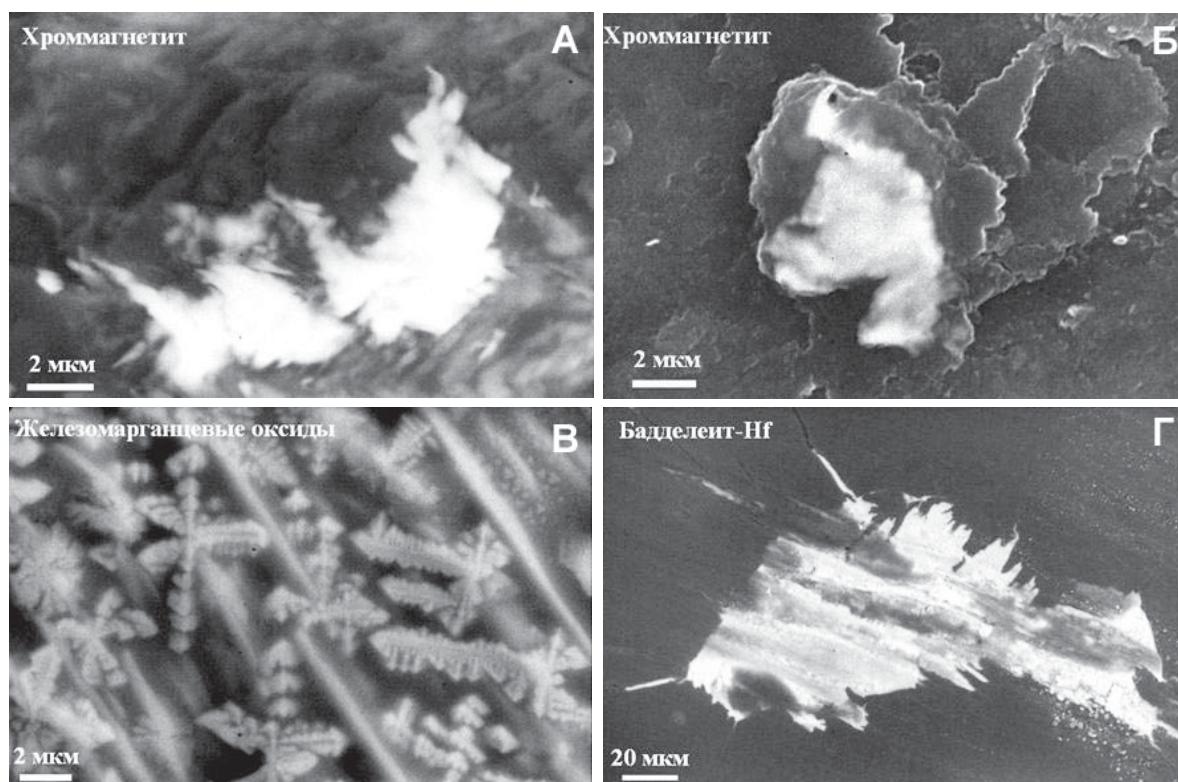


Рис. 8. Наиболее распространенные оксиды в пленках на поверхности якутидов. СЭМ-изображения в режиме упруго-отраженных электронов

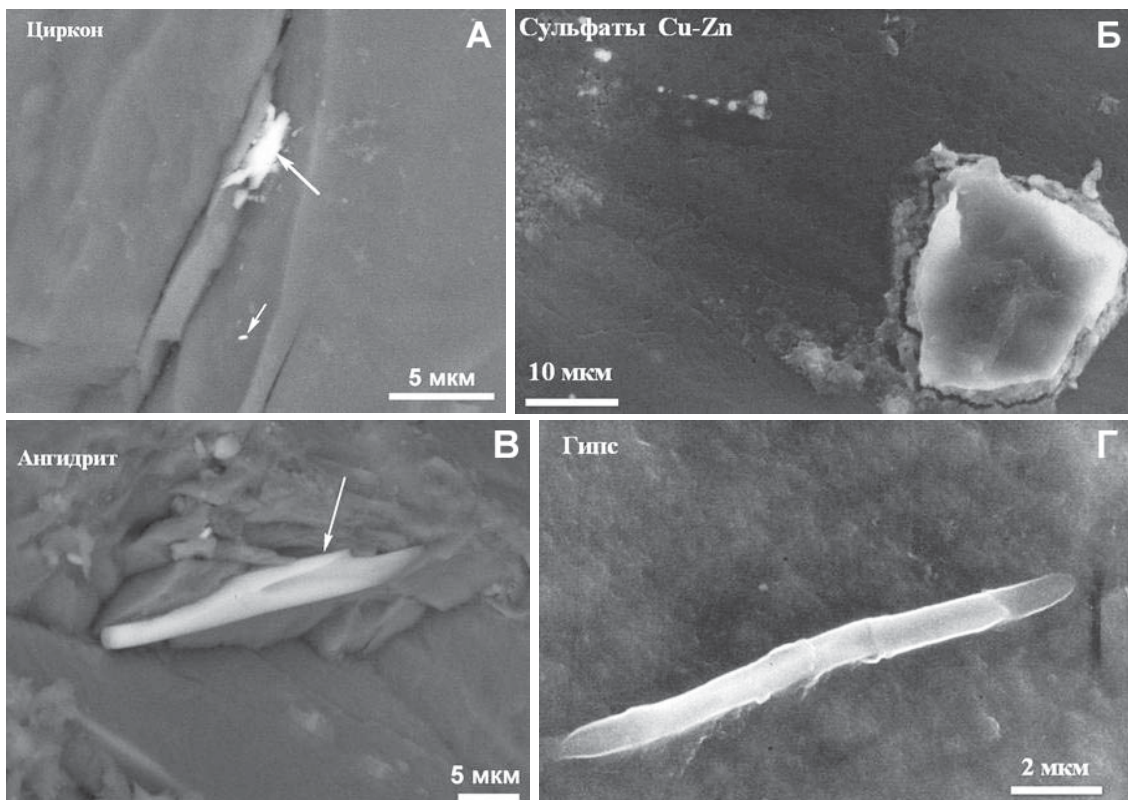


Рис. 9. Силикаты и кислородные соли в пленках на поверхности якутидов. СЭМ-изображения в режимах вторичных и упруго-отраженных электронов

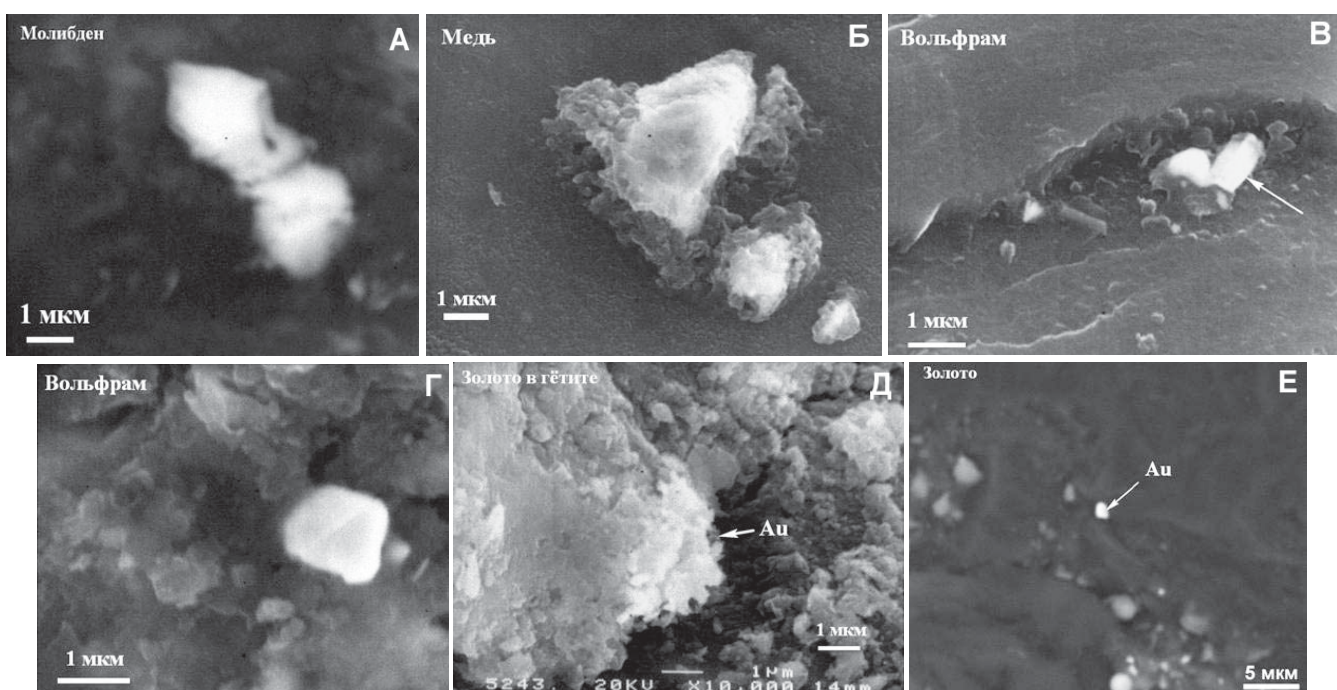


Рис. 10. Самородные металлы в пленках на поверхности частиц якутидов. СЭМ-изображения в режиме упруго-отраженных электронов

ленный акцент на простые соединения в исследуемых полиминеральных пленках обусловлен малой размерностью соответствующих индивидов [5]. Нельзя также не отметить того, что в составе пленок на частицах якутидов значительную роль играют минералы, характерные скорее для глубинного, нежели корового

минералообразования, — хромсодержащие шпинелиды, бадделеит, хромистое железо, карбиды тантала и, вероятно, ниобия.

Работа выполнена при финансовой поддержке АК «АЛРОСА» (ОАО) (договор НИР № 10/2011) и Проекта фундаментальных исследований УрО РАН № 12-У-5-1026.

Литература

- Галимов Э. М. Вариации изотопного состава алмазов и связь их с условиями алмазообразования // Геохимия. 1984. № 8. С. 1091–1117.
- Орлов Ю. Л., Каминский Ф. В. Карбонато с лонсдейлитом — новая (XI) разновидность поликристаллических агрегатов алмаза // Докла-

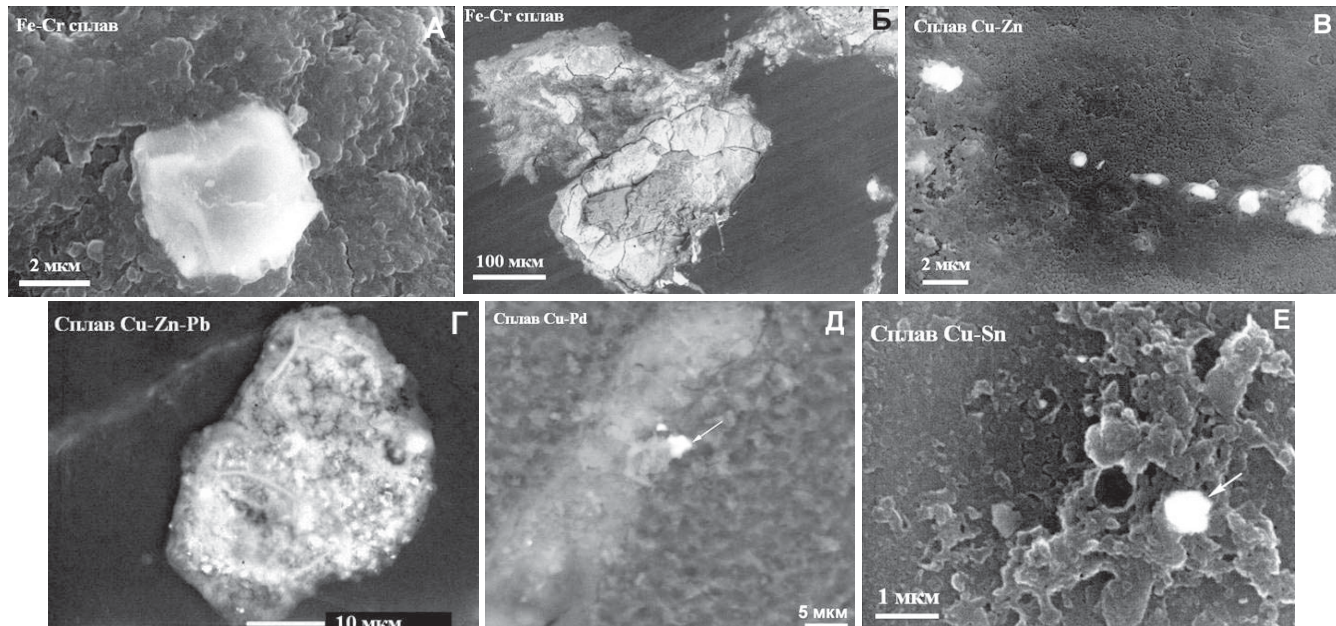


Рис. 11. Нестехиометрические сплавы в пленках на поверхности частиц якутидов. СЭМ-изображения в режиме упруго-отраженных электронов

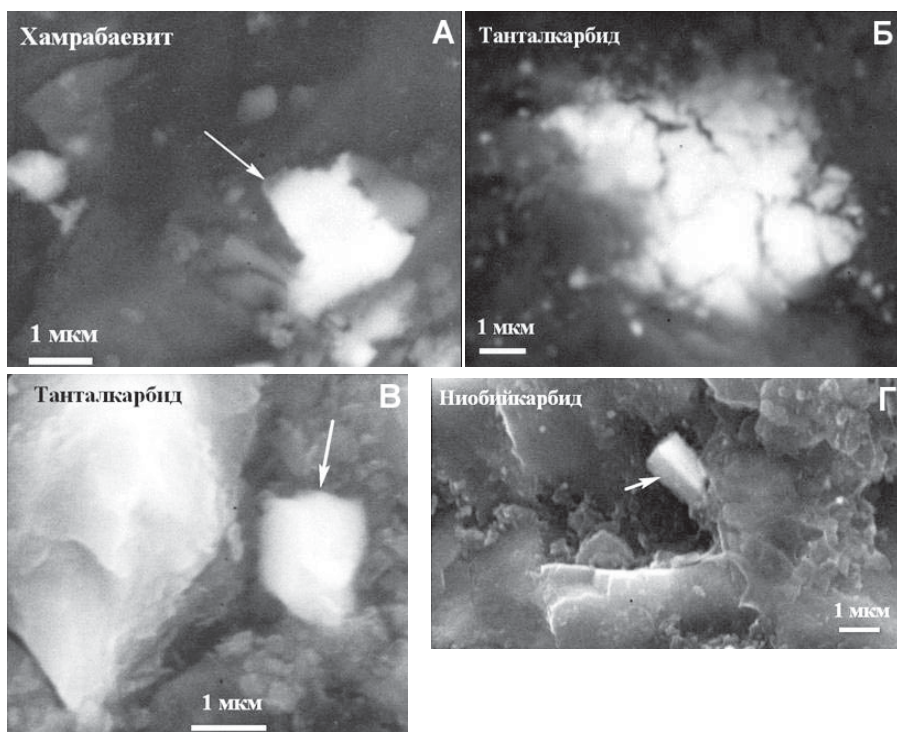


Рис. 12. Карбиды в пленках на поверхности частиц якутидов. СЭМ-изображения в режиме упруго-отраженных электронов

ды АН СССР, 1981. Т. 256. № 2. С. 469–461.

3. Петровский В. А., Силаев В. И., Сухарев А. Е., Земнухов А. Л., Помазанский Б. С. Якутиды: новые результаты минералого-геохимических исследований // Современные проблемы теоретической, экспериментальной и прикладной минералогии: Материалы минералогического семинара с международным участием. Сыктывкар, 2013. С. 85–89.

4. Прокопчук Б. И. Алмазные россыпи и методика их прогнозирования и поисков. М.: Недра, 1976. 244 с.

5. Силаев В. И., Лютоев В. П., Чайковский И. И. и др. Фактор размерности индивидов в минералогии // Минералогическая интервенция в микро- и наномир: Материалы международного минералогического семинара. Сыктывкар: Геопринт, 2009. С. 67–72.

6. Силаев В. И., Петровский В. А., Сухарев А. Е. Изотопная неоднород-

ность углерода в мантийных производных, включая карбонаты. Сыктывкар: Геопринт, 2006. 40 с.

7. Силаев В. И., Смолева И. В., Антошина А. И., Чайковский И. И. Опыт сопряженного анализа изотопного состава углерода и азота в углеродистых веществах разного происхождения // Проблемы минералогии, петрографии и металлогенеза: Материалы научных чтений памяти П. Н. Чирвинского. Пермь: Изд-во ПГУ, 2012. № 15. С. 342–366.

8. Сухарев А. Е., Петровский В. А. Минералогия карбонатов и экспериментальные модели их образования. Екатеринбург: УрО РАН, 2007. 196 с.

9. Титков С. В., Горшков А. И., Магазина Л. О. и др. Бесформенные темные алмазы (якутиты) из россыпей Сибирской платформы и критерии их импактного происхождения // Геология рудных месторождений, 2004. Т. 46. № 3. С. 222–234.

10. Угальева С. С., Заякина Н. В., Павлушин А. Д., Олейников О. Б. Результаты комплексного минералогического исследования якутидов из россыпей Анабарского алмазоносного района // Отечественная геология, 2010. № 5. С. 37–45.

11. Чумак М. А., Бартошинский З. В. Якутид — новая разновидность алмаза // Геолог Якутии, 1968. № 27 (556). С. 1.

12. Cartigny P. Stable Isotopes and the Origin of Diamond // Elements, 2005. V. 1. P. 79–84.

Рецензент
к. г.-м. н. В. П. Лютоев